

ФИЗИЧЕСКАЯ  
ХИМИЯ

УДК 534.222.2

ИНИЦИИРОВАНИЕ ГАЗОВОЙ ДЕТОНАЦИИ В ТРУБЕ  
С ПРОФИЛИРОВАННЫМ ПРЕПЯТСТВИЕМ

© 2009 г. С. М. Фролов, В. С. Аксенов

Представлено академиком А.А. Берлиным 29.12.2008 г.

Поступило 16.02.2009 г.

В данной работе впервые экспериментально показано, что установка в трубе осесимметричного препятствия специальной формы (сопла) позволяет обеспечить переход ударной волны (УВ) в детонацию в стехиометрической пропановоздушной смеси при нормальных условиях при очень низкой минимальной скорости УВ на входе в сопло –  $680 \pm 20$  м/с, что приблизительно соответствует числу Маха, равному 2. Полученный результат важен для новых систем реактивного движения с детонационным сжиганием топлива.

Обеспечение быстрого перехода горения в детонацию (ПГД) в углеводородовоздушных смесях при минимальной энергии зажигания – важнейшая фундаментальная проблема, решение которой открывает пути практического использования детонационного взрыва в перспективных силовых установках летательных аппаратов – импульсных детонационных двигателях (ИДД) [1, 2]. В 2003–2008 гг. в ИХФ РАН выполнен цикл экспериментальных и теоретических исследований по сокращению длины труб и времени ПГД в них для смесей газообразных и жидких углеводородных горючих с воздухом [3]. Одно из наиболее простых и многообещающих решений – использование набора регулярных препятствий специальной формы, установленных внутри детонационной трубы [4].

Цель данной работы – экспериментальное исследование быстрого перехода слабой УВ в детонацию при дифракции на одном препятствии специальной формы (суживающе-расширяющееся сопло).

Эксперименты проводили в прямой круглой трубе длиной 4500 мм диаметром 52 мм (рис. 1) со стехиометрической пропановоздушной смесью. Перед каждым опытом трубу вакуумировали, а затем заполняли смесью до нормальных начальных условий (температура  $293 \pm 2$  К, давление 1 атм). В качестве генератора ударной волны

(ГУВ) использовали пороховой газогенератор, который представлял собой цилиндрическую камеру сгорания объемом  $22 \text{ см}^3$ , оборудованную мембранным узлом с диаметром выходного отверстия 6 мм и пьезоэлектрическим датчиком давления Т6000 (датчик ДД1 на рис. 1). На расстоянии 2100 мм от среза выходного отверстия ГУВ устанавливали профилированное препятствие – сопло, состоящее из суживающейся конической секции длиной 30 мм и расширяющейся конической секции длиной 450 мм. Диаметр минимального сечения сопла 27 мм. Профиль суживающейся конической секции соответствовал расчетному параболическому профилю № 5 в [5]. Расширяющаяся коническая секция представляла собой прямой конус и была значительно длиннее, чем в расчетах [5], для предотвращения быстрого затухания вторичных взрывных волн, возникающих в окрестности минимального сечения сопла. Для регистрации профилей давления и скорости УВ в трубе размещали пьезоэлектрические датчики давления ДД2–ДД9 типа ЛХ600. Расстояния (мм) от среза отверстия мембранного узла ГУВ до датчиков давления приведены ниже:

ДД2 – 877		ДД6 – 3066
ДД3 – 1691		ДД7 – 3366
ДД4 – 1991		ДД8 – 3774
ДД5 – 2776		ДД9 – 4174

Сигналы всех датчиков регистрировали персональным компьютером с помощью повторителей и аналогово-цифрового преобразователя L-Card L-783. Система регистрации во всех опытах запускалась по достижении некоторого заданного напряжения на датчике ДД1.

Методика опытов заключалась в следующем [6, 7]. В газогенераторе размещали заряд пироксилинового пороха 12/7 СА массой от 2 до 3 г. Для зажигания заряда использовали навеску пористого пироксилинового пороха 0.3 г. Продолжительность горения пороха составляла около 10 мс, максимальное давление в камере ГУВ изменяли в диапазоне от 500 до 1500 атм. Применение поро-

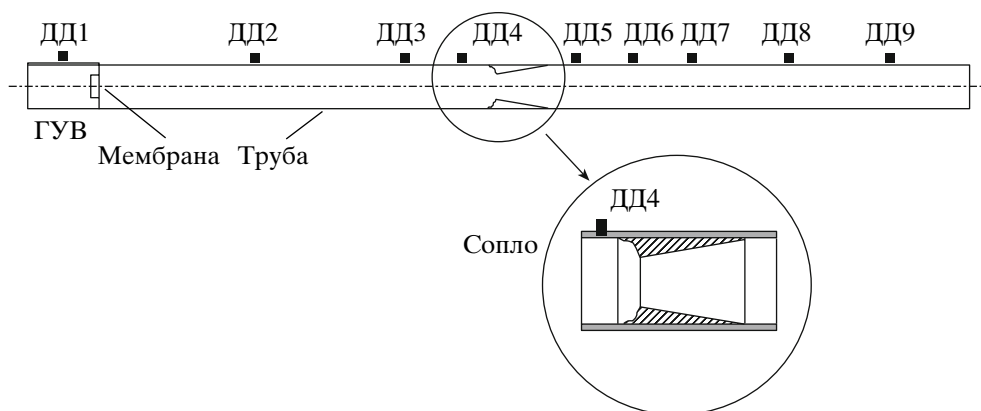


Рис. 1. Схема экспериментальной установки.

хового газогенератора позволяло получать УВ с продолжительной фазой сжатия: продолжительность истечения пороховых газов превышала 1 мс. Использование мембран разной толщины из различного материала позволяло изменять максимальное давление в газогенераторе и, следовательно, начальную скорость первичной УВ.

В табл. 1 и на рис. 2 приведены результаты десяти представительных опытов в виде значений средней скорости лидирующего фронта УВ на восьми измерительных базах 0–ДД2, ДД2–ДД3, ДД3–ДД4, ДД4–ДД5, ДД5–ДД6, ДД6–ДД7, ДД7–ДД8 и ДД8–ДД9. Измерительная база 0–ДД2 соответствовала расстоянию от среза отверстия мембранного узла ГУВ до датчика ДД2 (877 мм). Момент разрыва мембраны определяли по записи датчика ДД1.

На рис. 2 вертикальной штриховой линией (отметка 2130 мм) показано расположение минимального сечения сопла. Штриховая горизонтальная линия соответствует скорости детонации Чепмена–Жуге (ЧЖ), приблизительно 1804 м/с.

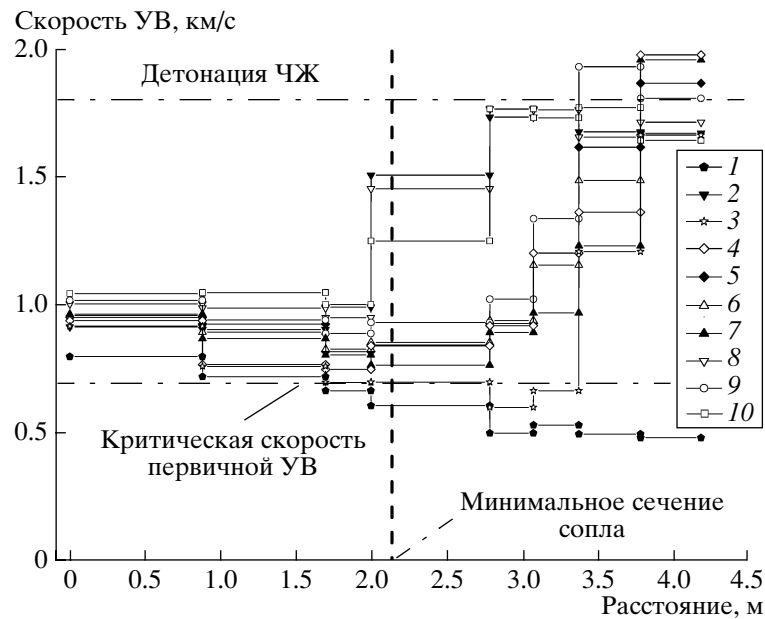
Среднюю скорость УВ на каждой измерительной базе определяли по расстоянию между соседними датчиками давления, а также по интервалу времени между приходом фронта УВ на соответствующие датчики давления по осциллограмме. Погрешность определения средней скорости УВ не превышала 3%. Из рис. 2 видно, что существует некоторое минимальное (критическое) значение средней скорости первичной УВ на входе в сопло, при котором в трубе происходит инициирование детонации, т.е. явление перехода УВ в детонацию носит пороговый характер. Полученное значение критической скорости для трубы длиной 4500 мм и диаметром 52 мм равно  $680 \pm 20$  м/с. Для стехиометрической пропановоздушной смеси при нормальных условиях эта скорость соответствует числу Маха,  $M \approx 2$ .

При средней скорости УВ на входе в сопло ниже указанного критического значения детонация не возникала (опыт № 1, табл. 1). При средней скорости УВ на входе в сопло выше указанного

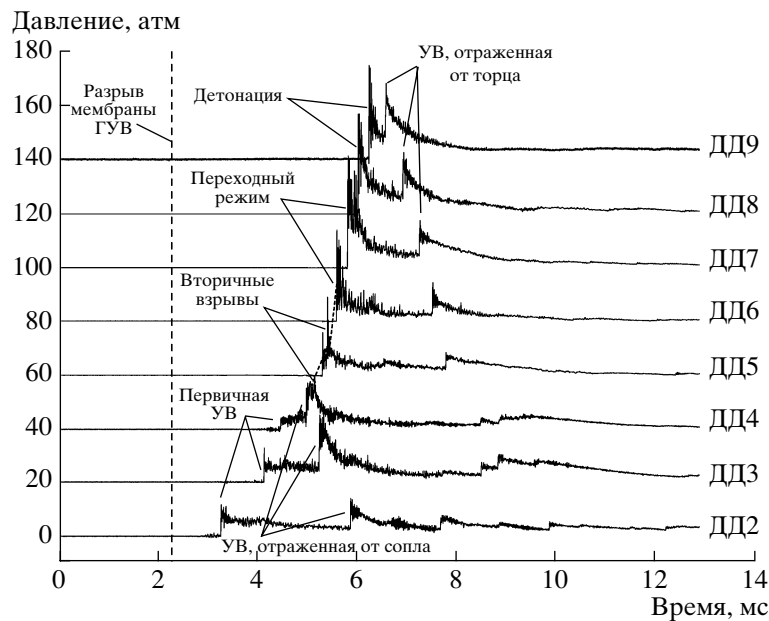
Таблица 1. Средняя скорость УВ (в км/с) на разных измерительных базах в 10 представительных опытах

№ п/п	0–ДД2	ДД2–ДД3	ДД3–ДД4	ДД4–ДД5	ДД5–ДД6	ДД6–ДД7	ДД7–ДД8	ДД8–ДД9
1	0.8002	0.7216	0.6667	0.6076	0.5009	0.5319	0.4964	0.4825
2	0.9164	0.9065	0.9934	<b>1.5096</b>	1.7365	1.7647	1.6790	1.6736
3	0.9193	0.7622	0.6993	0.7003	0.6017	0.6667	1.2107	<b>1.6667</b>
4	0.9410	0.7687	0.7500	0.8423	0.9206	1.2048	1.3645	<b>1.9802</b>
5	0.9533	0.9271	0.8197	0.8450	0.9295	1.2048	<b>1.6190</b>	1.8692
6	0.9606	0.8965	0.8287	0.8561	0.9416	1.1583	<b>1.4891</b>	1.9608
7	0.9659	0.8706	0.8065	0.7666	0.8951	0.9709	1.2326	<b>1.9608</b>
8	1.0057	0.9903	0.9524	<b>1.4564</b>	1.7683	1.7647	1.6585	1.7167
9	1.0198	0.9432	0.8902	0.9334	1.0247	1.3393	<b>1.9336</b>	1.8100
10	1.0465	1.0503	1.0033	1.2520	<b>1.7683</b>	1.7341	1.7739	1.6461

Примечание. Полужирным выделены скорости, по которым определяли преддетонационное расстояние (рис. 4).



**Рис. 2.** Зависимость средней скорости лидирующего ударного фронта от пройденного расстояния на разных измерительных базах в 10 представительных опытах.



**Рис. 3.** Записи давления на датчиках ДД2–ДД9 в опыте № 9 с расшифровкой волновых явлений.

критического значения происходил переход УВ в детонацию (опыты № 2–10, табл. 1).

На рис. 3 показаны записи давления на датчиках ДД2–ДД9 с расшифровкой волновых явлений в одном из опытов с инициированием детонации (опыт № 9, табл. 1). Погрешность измерения давления оценивается как 30%. Вертикальная штриховая линия показывает момент разрыва мембраны в ГУВ. Из записи датчика ДД2 видно, что из-

быточное давление в первичной УВ постоянно в течение времени около 1 мс, а затем начинает медленно спадать в волне разрежения. Интенсивность первичной УВ по мере ее распространения вдоль трубы уменьшается, что следует из снижения ее амплитуды (записи ДД2–ДД4) и скорости (табл. 1). Средняя скорость УВ на входе в сопло в опыте № 9 составила  $890 \pm 30$  м/с. После приблизительно 5 мс датчик ДД4, расположенный в 139 мм

от минимального сечения сопла, регистрирует ударный фронт большой интенсивности, соответствующий УВ, отраженной от стенок суживающейся секции сопла. За отраженной волной наблюдается пик давления, вызванный локальными взрывами ударно-сжатой смеси в сопле. Запись датчика ДД5, расположенного на расстоянии 196 мм от выходного сечения сопла, показывает, что вторичные взрывы приводят к возникновению интенсивного ударного фронта, распространяющегося в расширяющейся секции сопла, хотя измеренная средняя скорость лидирующей УВ внутри сопла повышается всего на 50 м/с. За этим ударным фронтом происходят дополнительные вторичные взрывы. Взрывные волны, догоняя друг друга, практически сливаются на записи датчика ДД6, приводя к резкому возрастанию амплитуды и скорости лидирующего ударного фронта. На измерительной базе ДД6–ДД7 переходный период еще продолжается (средняя скорость УВ равна  $1340 \pm 40$  м/с). Наконец, датчики ДД8 и ДД9 регистрируют детонацию, распространяющуюся со скоростью  $1930 \pm 60$  и  $1810 \pm 50$  м/с на измерительных базах ДД7–ДД8 и ДД8–ДД9 соответственно. Средняя скорость детонационной волны на измерительной базе ДД8–ДД9 очень близка к скорости детонации ЧЖ. В дальнейшем детонационная волна, отразившись от закрытого конца трубы, распространяется по продуктам горения вверх по течению в виде затухающей УВ. Таким образом, в рассматриваемом опыте переход УВ в детонацию произошел на расстоянии около  $3570 \pm 204$  мм от среза отверстия ГУВ. По отношению к соплу это расстояние составило приблизительно  $1440 \pm 204$  мм от минимального сечения сопла и  $990 \pm 204$  мм от выходного сечения сопла.

На рис. 4 показана зависимость преддетонационного расстояния от средней скорости первичной УВ на входе в сопло, построенная по данным табл.1. При построении рис. 4 условно считали, что преддетонационное расстояние – это расстояние до точки, где скорость лидирующего фронта УВ достигает, по крайней мере, значения  $1500 \pm 45$  м/с. Видно, что с увеличением скорости первичной УВ преддетонационное расстояние уменьшается. При скорости УВ выше 950–1000 м/с детонация возникает внутри сопла.

Последнее представляется важным для организации рабочего процесса в ИДД. В отличие от традиционных представлений о том, что сопло предназначено для увеличения длительности истечения продуктов детонации и, следовательно, повышения удельного импульса реактивной тяги ИДД, в данном случае сопло предназначено и для инициирования детонации, и для управления процессом истечения продуктов взрыва.

Таким образом, в работе экспериментально показано, что для инициирования детонации

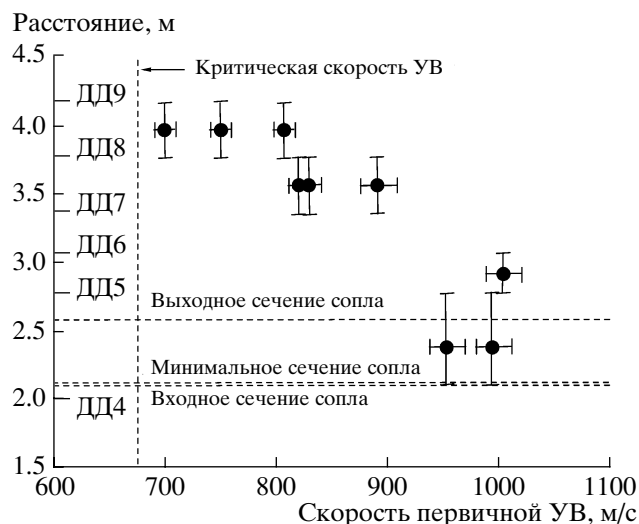


Рис. 4. Зависимость преддетонационного расстояния от средней скорости первичной УВ на входе в сопло.

ударной волной в стехиометрической пропановоздушной смеси в трубе с препятствием специальной формы скорость УВ должна превышать  $680 \pm 20$  м/с. Такую УВ легко получить, например, заменив в используемой экспериментальной установке пороховой ГУВ и участок трубы перед соплом на секцию трубы со спиралью Щелкина. После зажигания взрывчатой смеси слабым источником ускорение пламени в секции со спиралью Щелкина приводит к образованию УВ, распространяющейся со скоростью на уровне 900–1000 м/с [8].

Работа выполнена при поддержке Российского фонда фундаментальных исследований (проект 08–08–00068) и Президиума РАН (Программа фундаментальных исследований № 11).

#### СПИСОК ЛИТЕРАТУРЫ

1. Фролов С.М. Импульсные детонационные двигатели. М.: Торус Пресс, 2006. 592 с.
2. Roy G.D., Frolov S.M., Borisov A.A., Netzer D.W. // Progress Energy and Combust. Sci. 2004. V. 30. № 6. P. 545–672.
3. Фролов С.М. // Хим. физика. 2008. Т. 27. № 6. С. 31–44.
4. Фролов С.М., Семенов И.В., Комиссаров П.В. и др. // ДАН. 2007. Т. 415. № 4. С. 509–513.
5. Semenov I.V., Utkin P.S., Markov V.V. In: Proc. VII Intern. Symp. Hazards, Prevention, and Mitigation of Industrial Explosions. St. Petersburg, 2008. V. 2. P. 16–24.
6. Фролов С.М., Аксенов В.С., Басевич В.Я. // ДАН. 2006. Т. 410. № 1. С. 70–74.
7. Фролов С.М., Аксенов В.С., Шамшин И.О. // ДАН. 2008. Т. 418. № 5. С. 642–645.
8. Фролов С.М., Аксенов В.С., Басевич В.Я. // ДАН. 2005. Т. 401. № 2. С. 201–204.